

有限幅の開水路の側壁から垂直に出された平板周辺の流れに関する研究

秋田大学 正員 石井 千万太郎

学生員 ○渡部 幸伸

学生員 柴田 勇二

1. はじめに ほく離を生じる流れの場を解析するには、主流域とほく離領域を区分するほく離流線が特に重要である。本研究の対象とする流れのほく離流線に対する従来の解析では、自由流線理論が応用されていいるが、この解析モデルから得られる自由流線は実際のほく離流線とは大きく異なっている。そこで、本文では、モデルの流れと実際の流れとの違いを考慮した解析モデルを提案し、この解析から求められるほく離流線で実際の流れを十分に近似し得るかどうかを検討している。

2. 流れの解析モデル 本研究の対象とする流れの場の概念図は図-1に示すが、自由流線を用いての解析に対するモデルと1つ図-2を提案する。解析モデルの要点は以下のように述べられる。

1) 水制先端Cから出発する流線C-D₁D₂は、C-D₁の $\theta = KU_0$ の速度をもつ自由流線と、D₁-D₂の他の流線上の速度がD₁点の $\theta = KU_0$ からD₂点の $\theta = 0$ まで減少し、 $\theta = -\theta_b = \text{const}$ の直線状流線とで構成されている。2) 水制下流側E、またはD₂点での横断方向の流速分布を水制下流側無限遠点AまたはE点での流速 U_0 の一様分布としている。3) 自由流線上の速度を $\theta = KU_0$ とおき、Kの値により解析結果が変化し得るとしている。Kの値は、水制上流の流れの状態を表わす無次元量により決められるものでありこれが支配的であるとしている。4) 水制前面に形成されるほく離領域に注目し、主流とほく離領域を直線上の壁面でおさえている。おさえられた大塊界壁面と水制側壁と直角を θ_a とし、 θ_a は実際の水制の角度と、水制上流の流れの状態を表わす無次元量によって決められる。5) 自由流線C-D₁の長さがあらかじめ与えられるものとし、その代わり θ_b が解析の中で決定される未知量としている。6) 自由流線C-D₁の長さを $\int_{\theta_a}^{\theta_b} ds = \lambda l$ と表わし、 λ は水制上流の流れの状態を表わす無次元の関数である。

3. 解析 図-2の物理平面 図-3の速度平面および図-4の補助平面を用いた等角写像・自由流線理論を参考にして解析すると (詳細については参考文献を参照されたい。)

$$\frac{x_F}{l} = \frac{1}{\pi} \left(\frac{1}{K} \right) \left(\frac{B}{l} \right) \int_{\xi_*}^1 \frac{\cos \frac{1}{\pi} (B\theta_a + B_*\theta_b) - \theta_b}{\xi_*} d\xi_* \quad (1) \quad \text{ただし } \theta_a = \tan^{-1} \sqrt{\frac{(b-d_1)(1-\xi_*)}{(b-d_1)(1-\xi_*)}}$$

$$\frac{y_F}{l} = \frac{1}{\pi} \left(\frac{1}{K} \right) \left(\frac{B}{l} \right) \int_{\xi_*}^1 \frac{\sin \frac{1}{\pi} (B\theta_a + B_*\theta_b) - \theta_b}{\xi_*} d\xi_* \quad (2) \quad \theta_b = \tan^{-1} \sqrt{\frac{(1-d_2)(\xi_*-d_1)}{(d_1-d_2)(1-\xi_*)}}$$

$$(0 \leq B_1, B_2 \leq \frac{\pi}{2}) \quad (1 \leq \xi_* \leq d_1)$$

となり、 λ を媒介変数とする自由流線の式が得られた。解析モデルのところまで述べたように、 K 、 λ 、 θ_a 、 θ_b は流れの境界条件及び平板前面の流れの各
 件より与えられるものとていいもの。 $\ln k = + \frac{2\theta_a}{\pi} \ln \frac{\sqrt{b-1} + \sqrt{b-d_1}}{\sqrt{1-d_1}} - \frac{2\theta_b}{\pi} \ln \frac{\sqrt{1-d_1} + \sqrt{d_1-d_2}}{\sqrt{1-d_1}}$ —— (4)

$$|m_k| = + \frac{2\theta_a}{\pi} |m| \frac{\sqrt{b-1} + \sqrt{b-d_1}}{\sqrt{1-d_1}} - \frac{2\theta_b}{\pi} |m| \frac{\sqrt{1-d_1} + \sqrt{d_1-d_2}}{\sqrt{1-d_1}} \quad \text{--- (4)}$$

$$= -\frac{2\theta_a}{\pi} \left| n \frac{\sqrt{d_1(b-1)} + \sqrt{b-d_1}}{\sqrt{b(1-d_1)}} \right| + \frac{2\theta_b}{\pi} \left| n \frac{\sqrt{d_1(1-d_2)} + \sqrt{d_1-d_2}}{\sqrt{d_2(1-d_1)}} \right| \quad \text{--- (5)}$$

$$\frac{1}{\pi} \left(\frac{1}{K} \right) \left(\frac{B}{\ell} \right)^{\ell} \left\{ \frac{\sqrt{(b-1)(\xi_K - d)} + \sqrt{(b-d)(\xi_K - 1)}}{\sqrt{(1-d_1)(b-\xi_K)}} \right\}^{2a} \\ \times \left\{ \frac{\sqrt{(1-d_2)(\xi_K - d)} + \sqrt{(d_1-d)(\xi_K - 1)}}{\sqrt{(1-d_1)(\xi_K - d_2)}} \right\}^{2b} = 1 \quad (6)$$

$$d_1 = \exp \left\{ -\pi K \lambda / (c_B / \ell) \right\} \quad \text{--- (7)}$$

4 數值計算例

上記の(1)～(7)式は解析的に解かれないので
数値計算により解かれれる。図-5は入 = 7.0
 $B/l = 10.0$ 、 $\theta_0 = \pi/3$ のケースについて得
られた結果であるが、このとき解が存在する
Kの値は $1.283 < K < 1.327$ の範囲にある。

この図から 提案モデルの 解析から得られる

流線で、実際のはく離流線を表わす可能性があること、 λ の値の増加で、はく離領域が長くなることがわかる。

5. 実験との対応 図-6 と 7 は 室内実験水路で著者らが行なった実験結果の一例で、 $B/l = 10.0$ 、
 $F_F = U_m / \sqrt{g l} = 3.9$ 、 $R_e = U_m l / \nu = 7500$ 、 $\delta/l = 0.5$ のケースに対するものである。図-6
 には平板周辺の流速分布と、流速分布と水深分布とから次式を用いて得られたはく離流線上の点が、示されてい
 る。

$$Q = \int_0^y U_h dy \quad \text{--- (8)} \quad \left(Q: \text{流量}, h: \text{水深}, y: \text{平板の対壁からの距離} \right)$$

$$\text{注: 水深方向平均速度の水路方向成分 } Q: \text{はく離流線上の点}$$

$$Q = \int_0^T u h dy - \langle \zeta \rangle$$

(Q: 流量, h : 水深, y : 平板の対壁からの距離
 u: 水深方向平均速度の水路方向成分, η : はく離流線上の点)

図中に示されているBCD₂の曲線は、図-5のケースのK=1.327に対応する流線であり、これらの点と良く一致していることがわかる。 $\frac{m}{sec}$

また、図-7は はく離流線上の速度の変化を示しているが、図から解析モデルの要點1)に関連して、 $\beta = \text{const}$ とみなされる流線の長さを s_1 とすると、 $s_1/l \approx 7.0$ であり、この値は 1.8 で表す事が可能である。

減少するとみなしと
ができます。

参考文献

C. ISHII; Proc of
ICPND, Bangkok,
Thailand, Jan.
1980, pp 783-794

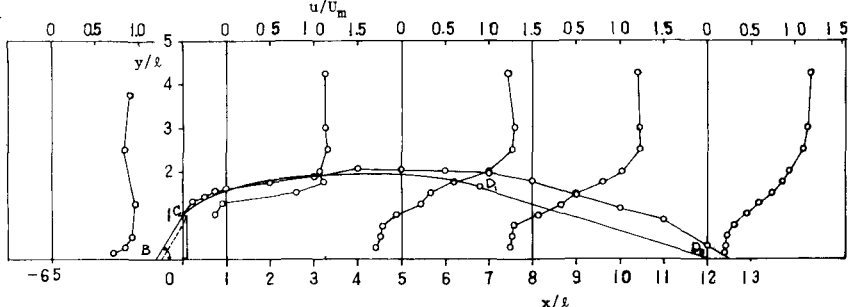


図-6 流速分布の模式図と離流線